Siehe ähnliche Dateien: http://www.ps.bam.de/TG57/
Technische Information: http://www.ps.bam.de/

Eingabe: Farbmetrisches Reflexions-System NRS11 für Buntton $h^* = lab^*h = 24/360 = 0.067$ lab^*tch und lab^*nch

D65: Buntton R
LCH*Ma: 53 84 24
rgb*Ma: 1.0 0.0 0.0

Dreieck-Helligkeit t^*

%Umfang

$u^*_{rel} = 119$

NRS11; adaptierte CIELAB-Daten	$L^*=L^*_a$	a^*_a	b^*_a	$C^*_{ab,a}$	$h^*_{ab,a}$
R_{Ma}	53.2	77.06	34.32	84.36	24
J_{Ma}	53.2	−1.51	84.38	84.39	91
G_{Ma}	53.2	−82.27	18.98	84.44	167
$G50_{Ma}$	53.2	−77.72	−32.98	84.44	203
B_{Ma}	53.2	4.37	−84.28	84.41	273
$B50_{Ma}$	53.2	69.09	−48.41	84.37	325
N_{Ma}	10.99	0.0	0.0	0.0	0
W_{Ma}	95.41	0.0	0.0	0.0	0
R_{CIE}	39.92	58.69	27.98	65.01	25
J_{CIE}	81.26	−2.9	71.56	71.62	92
G_{CIE}	52.23	−42.45	13.59	44.59	162
B_{CIE}	30.57	1.35	−46.48	46.51	272

%Regularität

$g^*_{H,rel} = 47$

$g^*_{C,rel} = 100$

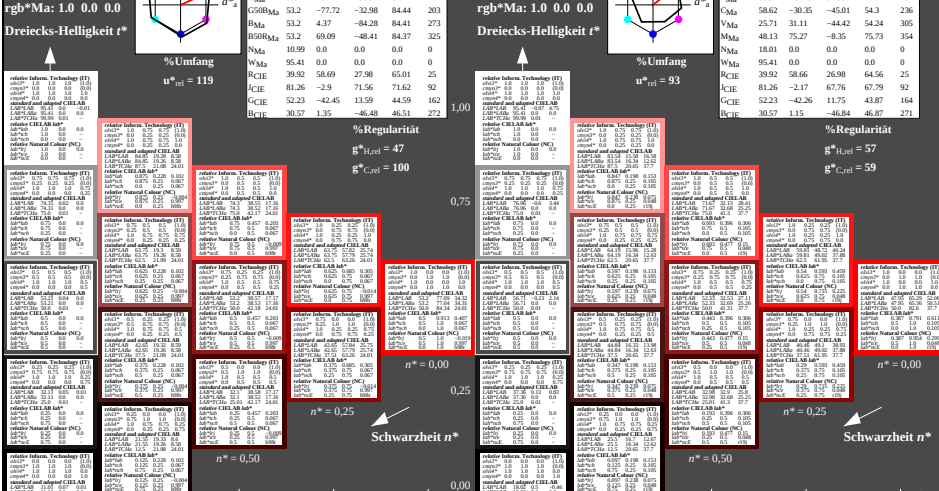

TG570−7, 5 stufige Reihen für konstanten CIELAB Buntton 24/360 = 0.067 (links)

Ausgabe: Farbmetrisches Reflexions-System ORS18 für Buntton $h^* = lab^*h = 38/360 = 0.105$ lab^*tch und lab^*nch

D65: Buntton O
LCH*Ma: 48 83 38
rgb*Ma: 1.0 0.0 0.0

Dreieck-Helligkeit t^*

%Umfang

$u^*_{rel} = 93$

ORS18; adaptierte CIELAB-Daten	$L^*=L^*_a$	a^*_a	b^*_a	$C^*_{ab,a}$	$h^*_{ab,a}$
O_{Ma}	47.94	65.37	50.52	82.62	38
Y_{Ma}	90.37	−10.27	91.77	92.34	96
L_{Ma}	50.9	−62.79	34.95	71.87	151
C_{Ma}	58.62	−30.35	−45.01	54.3	236
V_{Ma}	25.71	31.11	−44.42	54.24	305
M_{Ma}	48.13	75.27	−8.35	75.73	354
W_{Ma}	18.01	0.0	0.0	0.0	0
W_{Ma}	95.41	0.0	0.0	0.0	0
R_{CIE}	39.92	58.66	26.98	64.56	25
J_{CIE}	81.26	−2.17	67.76	67.79	92
G_{CIE}	52.23	−42.26	11.75	43.87	164
B_{CIE}	30.57	1.15	−46.84	46.87	271

%Regularität

$g^*_{H,rel} = 57$

$g^*_{C,rel} = 59$

5 stufige Reihen für konstanten CIELAB Buntton 38/360 = 0.105 (rechts)